加压碱溶法从氧化铝基废催化剂中回收钯

赵 雨 1 , 王 欢 1 , 贺小塘 1 , 吴喜龙 1 , 李 勇 1 , 李子璇 1 , 廖 微 2 , 雷 霆 3 (1. 贵研资源(易门)有限公司,昆明 651100; 2. 昆明贵金属研究所,昆明 650106; 3. 昆明冶金高等专科学校,昆明 650033)

摘 要:研究了加压碱溶载体法从氧化铝基含钯废催化剂中回收钯的工艺。在高压釜中,反应温度 200℃,压力 12 kg/cm²,时间 6 h,氧化铝载体的溶解效率大于 95%;选择甲酸钠作为抑制剂,可将钯在溶液中的浓度降低至 0.0005 g/L 以下;富集物经溶解-精炼得到纯度大于 99.98%的海绵钯,钯直收率为 99.02%。

关键词: 有色金属冶金; 钯; 废催化剂; 加压; 碱溶; 氧化铝; 回收中图分类号: TF836, TF114 文献标识码: A 文章编号: 1004-0676(2016)03-0037-05

Recovery of Palladium from the Alumina-Based Waste Catalysts by Pressurized Alkali Dissolution Method

ZHAO Yu¹, WANG Huan¹, HE Xiaotang¹, WU Xilong¹, LI Yong¹, LI Zixuan¹, LIAO Wei², LEI Ting³
(1. Sino-Platinum Metals Resources (Yimen) Co. Ltd., Kunming 651100, China; 2. Kunming Institute of Precious Metals, Kunming 650106, China; 3. Kunming Metallurgy College, Kunming 650033, China)

Abstract: The process of recovering palladium from the alumina-based waste catalysts by pressurized alkali dissolution method was studied. At the reaction temperature of 200°C, pressure of 12 kg/cm², and the reaction time of 6 h in the autoclave, the dissolution efficiency of alumina carrier is more than 95%. With sodium formate as inhibitor, the concentration of palladium in solution can be reduced to less than 0.0005 g/L. By dissolving-refining the purity of sponge palladium could be reached to over 99.98%, and the direct recovery of palladium was 99.02%.

Key words: nonferrous metallurgy; palladium; spent catalyst; high pressure; alkali solution; aluminum oxide; recovery

钯作为贵金属元素,具有很高的化学稳定性,优良的导热、导电及催化活性,广泛应用于航空、航天、汽车、石油化工等领域。随着国家对贵金属专控政策的放开和钯在工业领域的不断拓展,我国工业生产所需的钯用量将会逐年增加^[1-3]。

含钯催化剂的种类很多,作为石油化工领域中最常用和重要的品种之一,大多应用于催化加氢和催化氧化等反应过程,如乙烯装置脱除乙炔、MAPD生产聚合级乙烯、丙烯等,因中毒、积炭、载体结构变化、金属晶粒聚集或流失等因素会导致催化剂失去活性,需要定期更换,负载在废催化剂上的钯

必须回收利用。

从氧化铝基废催化剂中回收钯一般采用湿法处理。湿法主要分酸溶解法和碱溶载体法。酸溶解法有选择溶解载体法、选择溶解贵金属法、全溶解法,酸溶解法只适应可溶性 γ -Al₂O₃ 载体催化剂,不适合处理不可溶晶型 θ -Al₂O₃、 δ -Al₂O₃和 α -Al₂O₃基为载体的失效催化剂^[4-6]。

碱溶载体法是选择溶解 Al_2O_3 基载体,不溶解贵金属组分,从不溶渣中回收贵金属。碱溶载体法能处理可溶性 γ - Al_2O_3 载体失效催化剂,也能溶解不能酸溶的 θ - Al_2O_3 、 δ - Al_2O_3 和 α - Al_2O_3 载体失效催

收稿日期: 2015-09-01

基金项目:云南省省院省校科技合作项目(2013IB020)。

作者简介: 赵 雨, 男, 工程师, 研究方向: 贵金属二次资源回收。E-mail: 306736970@qq.com

化剂,即碱溶载体法能处理各种晶型 Al_2O_3 基为载体的废催化剂,适应范围广[7-8]。本文采用加压碱溶载体法富集废催化剂中的钯,并对富集物中的钯进行回收。

1 实验

1.1 原料、试剂及设备

原料为某石油炼化企业 C2/C3 选择加氢过程中使用的氧化铝基含钯废催化剂,有价金属为钯,载体为氧化铝。在废催化剂中取 400 kg 混匀后作为实验原料,单次实验物料重 10 kg,经分析,贵金属钯含量为 2604 g/t,含钯 26.04 g。

所用试剂为液碱 NaOH,分析纯的盐酸、氯气、 氯化铵、氨水、水合肼,实验使用去离子水。

主要实验设备高压反应釜为威海宏协化工机械有限公司 GSH-200 型,工作压力-0.1~28 MPa,最高工作温度:300℃。其余设备包括电热套、圆底烧瓶、烘箱、电炉等常规实验设备。

1.2 实验工艺流程

根据物料情况,先对物料进行预处理,然后加压溶解载体 Al_2O_3 ,再回收富集物中的钯,其工艺流程详见图 1。

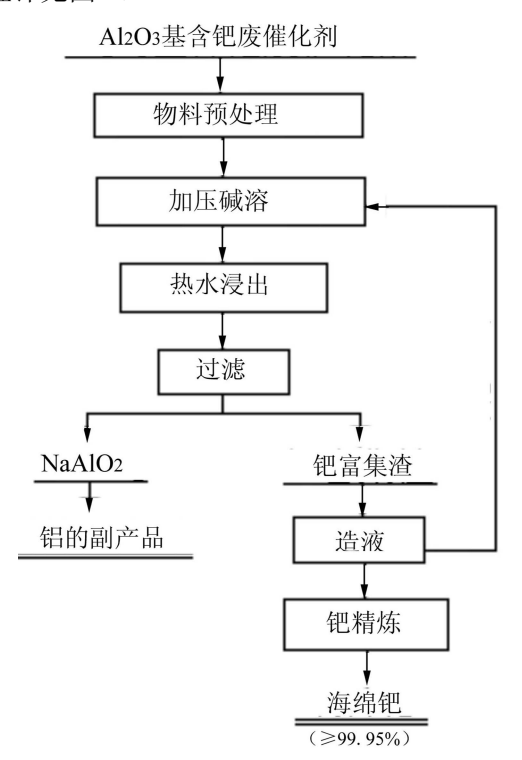


图 1 加压碱溶法处理氧化铝基废催化剂的工艺流程图

Fig.1 Technological process for the treatment of alumina-based waste catalysts by pressurized alkali dissolution method

2 结果与讨论

2.1 物料预处理

Al₂O₃基含钯催化剂在选择加氢制乙烯过程中,表面积炭,逐渐失去催化活性,废催化剂中的钯必须回收。物料预处理的主要目的是避免溶解载体时反应冒槽,利于溶解液的澄清分相及提高副产品铝盐的外观和品质。物料预处理参照文献[9-10]中的方法进行。

 Al_2O_3 基含钯废催化剂一般有球形、条形和粉末状,将预处理后的废催化剂研磨至 80 目,以利于提高反应速度及载体 Al_2O_3 的溶解率,进而提高贵金属的回收率 $[^{[1-12]}]$ 。

2.2 加压溶解

常压下碱溶液 NaOH 能溶解废催化剂中 Al₂O₃ 载体,但溶解效率仅有 50%~70%、碱消耗量大、时间长、生产成本高;而且高温碱熔 Al₂O₃ 载体时能耗高,设备腐蚀严重。加压碱溶载体法是在密闭容器中,加温、加压条件下进行,可以加快溶解速度,减少反应时间和不溶物的数量^[13]。

同时,废催化剂在收集过程中会夹带少量 SiO_2 杂质,加压碱溶载体 Al_2O_3 时还能溶解 SiO_2 生成可溶性的 Na_2SiO_3 ,得到含量较高的贵金属富集渣,利于后期钯的精炼,具体反应式见(1)~(2)。

$$Al_2O_3 + 2NaOH \rightarrow 2NaAlO_2$$
 (1)

$$SiO_2 + NaOH \rightarrow NaSiO_3$$
 (2)

本实验采用液碱 NaOH 对废催化剂进行溶解。将预处理后的含钯废催化剂投入高压反应釜中,投料量不能超过反应釜容量的 50%,缓慢升温,随着温度升高,釜内压力会逐渐增大,碱溶解 Al₂O₃ 载体的速度会加快。10 kg 含钯废催化剂预处理后剩余8.75 kg,放入 100 L 盛有液碱 NaOH 的衬四氟乙烯高压反应釜中,加压溶解废催化剂载体,固液比 1:3。

当采用碱加压溶解 Al_2O_3 载体时,反应温度和工作压力对 Al_2O_3 的溶解速率起着至关重要的作用。反应的速率常数随温度升高及压力增加而很快增大,故升高反应温度和加大釜内压力都可提高溶解速度。控制反应时间 4h,反应温度对 Al_2O_3 溶解率的影响见图 2,工作压力对 Al_2O_3 溶解率的影响见图 3。

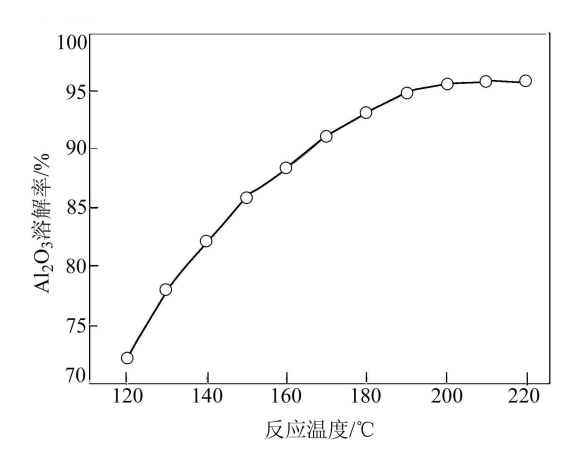


图 2 反应温度对 Al₂O₃ 溶解率的影响

Fig.2 The influence of reaction temperature on dissolving rate of alumina

由图 2 可以看出,随着反应温度逐渐升高, Al_2O_3 的溶解率逐步增加,当反应温度达到 200 ℃时,载体的溶解速率趋于平缓,根据实际情况,反应温度以 200 ℃为宜。

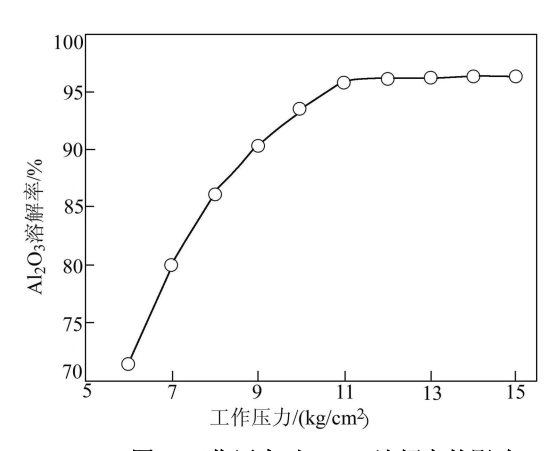


图 3 工作压力对 Al₂O₃ 溶解率的影响

Fig.3 The influence of pressure on dissolving rate of alumina

由图 3 可以看出,随着反应时工作压力逐渐加大,载体的溶解速率逐步升高,当压力达到 12 kg/cm² 时,载体的溶解速率趋于平缓,根据实际情况,工作压力以 12 kg/cm² 为宜。

当采用碱加压溶解 Al_2O_3 时,反应时间越长, Al_2O_3 的溶解率会越高,当载体溶解完毕后,反应 停止。在反应温度定为 200 °C,压力 12 kg/cm² 时,不同反应时间对 Al_2O_3 溶解率的影响见图 4。

由图 4 可以看出,当采用碱加压溶解 Al_2O_3 时,在反应温度 200° 、压力 12 kg/cm²,随着反应时间增长, Al_2O_3 的溶解效率逐渐增加,当反应时间超

过 6 h 后,载体的溶解效率趋于平缓。根据实际情况,反应时间以 6 h 为宜。

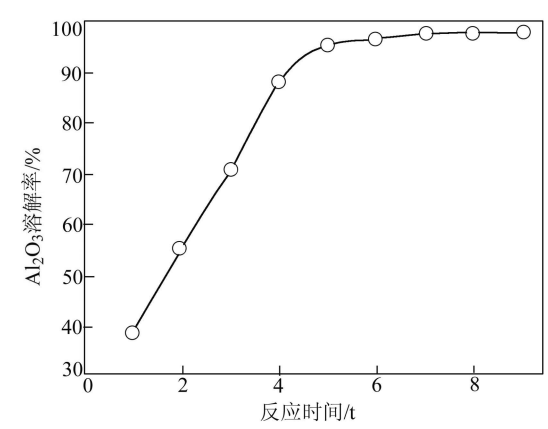


图 4 反应时间对 Al₂O₃ 溶解率的影响

Fig.4 The influence of reaction time on dissolving rate of alumina

2.3 抑制剂的选择

碱对钯的腐蚀性较大,由于钯活性组分以极细颗粒分布在 Al₂O₃ 基载体表面,活性好,更易被碱溶解,所以在加压碱溶载体时,添加少量还原剂,可以抑制钯的溶解,提高钯的回收率。分别采用水合肼、硫酸亚铁和甲酸钠作为抑制剂,来抑制钯的分散^[14-16]。

在反应温度 200° 、压力 12 kg/cm^2 时,加入理论量 $1.1 \sim 1.3$ 倍 30% NaOH 溶液,反应时间 6 h,分别加入抑制钯分散的还原剂和不加抑制剂进行反应对比,碱加压溶解 Al_2O_3 时钯分散情况见表 1。

表 1 抑制剂添加量对钯的分散影响

Tab.1 The influence of the inhibitor addition amount on the dispersion of palladium

| | • | • | | | |
|------------|------|----------|------|--------|------|
| 氧化铝基含钯废催化剂 | | | 抑制剂 | | 钯的分 |
| 编号 | 质量/g | 含量/(g/t) | 名称 | 加入量 | 散率/% |
| 1 | 500 | 2604 | 无 | 0 | 14.7 |
| 2 | 500 | 2604 | 水合肼 | 0.2 mL | 1.2 |
| 3 | 500 | 2604 | 水合肼 | 0.4 mL | 0.45 |
| 4 | 500 | 2604 | 水合肼 | 0.6 mL | 0.42 |
| 5 | 500 | 2604 | 硫酸亚铁 | 0.2 g | 0.4 |
| 6 | 500 | 2604 | 硫酸亚铁 | 0.4 g | 0.18 |
| 7 | 500 | 2604 | 硫酸亚铁 | 0.6 g | 0.17 |
| 8 | 500 | 2604 | 甲酸钠 | 0.2 g | 0.15 |
| 9 | 500 | 2604 | 甲酸钠 | 0.4 g | 0.12 |
| 11 | 500 | 2604 | 甲酸钠 | 0.6 g | 0.11 |

从表 1 可以看出,抑制剂甲酸钠效果较好,采用甲酸钠作为抑制剂,来抑制钯的分散,甲酸钠的加入量对钯分散的影响见图 5。

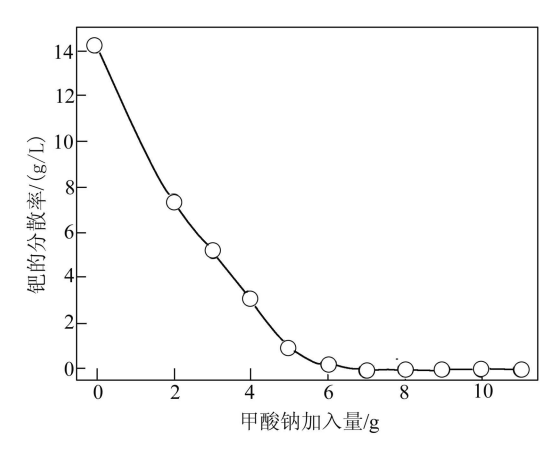


图 5 甲酸钠的加入量对钯分散的影响

Fig.5 The influence of the addition of sodium formate on the dispersion of palladium

由图 5 可以看出,当采用碱加压溶解 Al_2O_3 时,在反应温度 200° 、压力 12 kg/cm²,反应时间 6 h,随着加大甲酸钠的加入量,钯的分散率逐渐降低,当甲酸钠的加入量为 7 g 时,钯在溶液中的浓度 < 0.0005 g/L。根据实际情况,甲酸钠的加入量以 7 g 为宜。

2.4 钯的回收

加压碱溶载体后,过滤、洗涤、煅烧(温度 600° 、时间 4h)滤渣即为钯的富集物。钯的富集物质量为 711.62 g,钯富集了 12.3 倍。

钯的造液方法较多,有硝酸法、王水法、氯化 法和电化法等。本实验采用王水对钯的富集物进行 溶解,将富集物放入 5 L 烧杯中,用王水溶解,固 液比 1:4,温度 95℃左右,反应时间 4 h,富集物中 的钯基本全部溶解。反应式如下:

 $4HNO_3+18HCl+3Pd\rightarrow 3H_2PdCl_6+8H_2O+4NO$ (3) 经煮沸后, H_2PdCl_6 自行转化为稳定的 H_2PdCl_4 。 过滤、煅烧后,剩余不溶渣 4.117 g,钯含量为 0.51%, 折合钯 0.02 g,钯的溶解率为 99.92%。

钯的提纯方法有多种,通常使用的钯精炼方法 有二氯二氨络亚钯沉淀法和氯钯酸铵反复沉淀法 等。氯钯酸铵反复沉淀法是从钯中除去普通杂质的 有效方法,但铂族金属较难除尽;二氯二氨络亚钯 沉淀法则能有效地除去各类贵金属杂质^[17]。

本实验采用二氯二氨络亚钯沉淀法对钯进行精 炼提纯。通过沉淀、氨水络合、酸化沉淀、还原、 烘干等步骤,得到纯度大于 99.98%的海绵钯 25.784 g, 钯直收率为 99.02%。

3 结论

- 1) 采用碱加压溶解 Al₂O₃ 载体时,反应温度 200℃,压力 12 kg/cm²,时间 6 h,Al₂O₃ 载体的溶解效率最好。
- 2) 添加抑制剂可以有效防止钯的分散,通过多种抑制剂对比,甲酸钠效果最好,当甲酸钠的加入量为7g时,钯在溶液中的浓度<0.0005 g/L。
- 3) 采用王水对加压碱溶载体后的钯进行溶解, 二氯二氨络亚钯沉淀法对钯进行提纯,海绵钯产品 纯度≥99.98%,钯直收率为99.02%。

参考文献:

- [1] 金佳敏,何兴娇,石能富. 含钯废催化剂中钯回收研究进展[J]. 浙江化工,2014,45(2): 18-22.

 JIN J M, HE X J, SHI N F. Research progress of recovery
 - JIN J M, HE X J, SHI N F. Research progress of recovery of palladium catalyst[J]. Zhejiang chemical industry, 2014, 45(2): 18-22.
- [2] 贺小塘, 李勇, 吴喜龙, 等. 等离子熔炼技术富集铂族 金属工艺初探[J]. 贵金属, 2016, 37(1): 1-5.

 HE X T, LI Y, WU X L, et al. Study on the process of enrichment platinum group metals by plasma melting technology[J]. Precious ,metals, 2016, 37(1): 1-5.
- [3] 马斯列尼茨基 U H. 贵金属冶金学[M]. 北京: 原子能 出版社, 1992.
- [4] GUO J M, HE X T, WANG H, et al. Reviews of metallurgical technology to recovery platinum group metals from secondary resource in China[J]. Precious metals, 2012, 33(S1): 18-23.
- [5] 贺小塘. 从石油化工废催化剂中回收铂族金属的研究进展[J]. 贵金属, 2013, 34(S1): 35-41.

 HE X T. Research progress of PGMs recovery from waste petrochemical catalyst[J]. Precious metals, 2013, 34(S1): 35-41.
- [6] MATTHIAS G, HORST M, JOACHIM K. Technological aspects in PGM refining[J]. World of metallurgy-erzmetall, 2006, 59(2): 81-86.
- [7] 于泳, 彭胜, 严加才, 等. 铂族金属催化剂的回收技术 进展[J]. 河北化工, 2011, 34(2): 50-55.
 YU Y, PENG S, YAN J C, et al. Progress of platinum group metals recovery from spent carrier catalysts[J].

Hebei chemical industry, 2011, 34(2): 50-55.

- [8] 车民, 孙国良, 王文. 废催化剂中钯的回收技术简述[J]. 合成技术及应用, 1999, 14(3): 27-30. CHE M, SUN G L, WANG W. A summary of the technique of recovering[J]. Synthetic technology and application, 1999, 14(3): 27-30.
- [9] 赵雨, 王欢, 贺小塘, 等. 硫酸加压溶解法从氧化铝基废催化剂中回收铂[J]. 贵金属, 2016, 37(2): 37-40. ZHAO Y, WANG H, HE X T, et al. Recovering platinum from alumina-based spent catalysts by sulfuric axid pressure dissolution[J]. Precious metals, 2016, 37(2): 37-40.
- [10] 刘文, 贺小塘, 王欢, 等. 从失效 Pt-V/C 催化剂中回收铂的新工艺[J]. 贵金属, 2014, 35(1): 27-30.

 LIU W, HE X T, WANG H, et al. A new technology of recovery platinum from spent Pt-V/C catalyst[J]. Precious metals, 2014, 35(1): 27-30.
- [11] 贺小塘, 韩守礼, 王欢, 等. 一种从废催化剂中回收贵金属的方法: CN 103276215B[P]. 2014-08-20.
- [12] CHEN J, HUANG K. A new technique for extraction of platinum group metals by pressure cyanidation[J]. Hydrometallurgy, 2006, 82(3/4): 164-171.

- [13] 托马斯 J L, 布雷姆 G F. 贵金属回收方法: CN 102212696A[P]. 2011-10-12.
- [14] 吴喜龙, 赵雨, 贺小塘, 等. 四甲基氯化铵沉淀法分离 提纯铂和钯[J]. 有色金属: 冶炼部分, 2014(1): 50-53. WU X L, ZHAO Y, HE X T, et al. Separation and purification of platinum and palladium by tetramethyl ammonium chloride precipitation[J]. Nonferrous metals: Extractive metallurgy, 2014(1): 50-53.
- [15] 杜欣, 张晓文, 周耀辉, 等. 从废催化剂中回收铂族金属的湿法工艺研究[J]. 中国矿业, 2009, 18(4): 82-85.

 DU X, ZHANG X W, ZHOU Y H, et al. Hydrometallurgical processes of platinum group metals recovery from exhaust catalysts[J]. China mining magazine, 2009, 18(4): 82-85.
- [16] LEE J Y, RAJU B, KUMAR B N, et al. Solvent extraction separation and recovery of palladium and platinum from chloride leach liquors of spent automobile catalyst [J]. Separation and purification technology, 2010, 73(2): 213-218.
- [17] 王贵平, 张令平, 杨理, 等. 贵金属精炼工艺[R]. 金昌: 金川公司第二冶炼厂, 2000.

【上接第36页】

- [6] RAUTANEN P A, LYLYKNAGAS M S, AITTAMAA J R. et al. Liquid-phase hydrogenation of naphthalene and tetralin on Ni/Al₂O₃: Kinetic modeling[J]. Industrial & engineering chemistry research, 2002, 41(24): 5966-5975.
- [7] TYE C T, SMIHT K J. Catalytic activity of exfoliated MoS₂ in hydrodesulfurization, hydrodenitrogenation and hydrogenation reactions[J]. Topics in catalysis, 2006, 37(2/4): 129-135.
- [8] SCHMITZ A D, BOWERS G, SONG C. Shape-selective hydrogenation of naphthalene over zeolite-supported Pt and Pd catalysts[J]. Catalysis today, 1995, 40(4): 45-56.
- [9] PAWELEC B, MARISCAL R, NAVARRO R M, et al. Hydrogenation of aromatics over supported Pt-Pd catalysts[J]. Applied catalysis A: General, 2002, 225(1/2): 223-237.
- [10] 张小菲, 邵正锋, 毛国强, 等. 萘在贵金属 Pd、Pt 及 Pd-Pt 催化剂上的加氢活性及耐硫性能[J]. 物理化学学 报, 2010, 26(10): 2691-2698.

 ZHANG X F, SHAO Z F, MAO G Q, et al. Naphthalene

- hydrogenation activity over Pd, Pt and Pd-Pt catalysts and their sulfur tolerance[J]. Acta phys chim Sin, 2010, 26(10): 2691-2698.
- [11] KORÁNYI T I, NAGY J B, VÍT Z. Support and pretreatment effects on the hydrotreating activity of SBA-15 and CMK-5 supported nickel phosphide catalysts[J]. Catalysis today, 2008, 130(1): 80-85.
- [12] SU F, LV L, LEE F Y, et al. Thermally reduced ruthenium nanoparticles as a highly active heterogeneous catalyst for hydrogenation of monoaromatics[J]. Journal of the American Chemical Society, 2007,129(46): 14213-14223.
- [13] LIU Z, MI J, YANG Y, et al. Synthesis of Pt-containing ordered mesoporous carbons and their catalysis for toluene hydrogenation[J]. Materials letters, 2011, 65(23): 3548-3551.
- [14] JUN S, SANG H J, RYOO R, et al. Synthesis of new, nanoporous carbon with hexagonally ordered mesostructure[J]. Journal of the American Chemical Society, 2000, 122(43): 10712-10713.